



Laboratorium EMVO Sp. J.
ul. Jasna 1
00-013 Warszawa

tel. +48 22 780 29 64
e-mail: laboratorium@emvo.pl



AB 1630

Sprawozdanie z pomiarów pól elektromagnetycznych - środowisko nr 31/01/OŚ/2023- P4-W



Nr i nazwa stacji	CIE3310A
Adres	Ciechanów, Gostkowska 39A, pow. ciechanowski, woj. mazowieckie
Opracowanie	Specjalista ds. pomiarów
Autoryzacja	Kierownik Laboratorium
Podpis	Podpis jest prawidłowy Dokument podpisany przez Data: 2023.01.20 13:59:58 Powód: Zatwierdzam dokument
Data	2023-01-16

Spis treści

1. Informacje ogólne.....	3
2. Podstawa prawna.....	3
3. Opis pomiarów.....	4
4. Zróżnicowanie dopuszczalne poziomy pól elektromagnetycznych.....	5
5. Charakterystyka źródeł PEM.....	5
6. Wyniki pomiarów.....	5
7. Stwierdzenie zgodności.....	6
8. Oświadczenie.....	8
9. Spis załączników.....	8

1. Informacje ogólne.

Zleceniodawca	P4 sp. z o.o., ul. Wynałazek 1, 02-677 Warszawa osoba udzielająca informacji-
Istotne informacje dostarczone przez klienta	komplet informacji niezbędnych do wykonania pomiarów i opracowania sprawozdania
Dane otrzymane od klienta mogące mieć wpływ na ważność wyników	Dane anten sektorowych, dane anten radioliniowych, parametry pracy instalacji, ustawienie pochylenia anten
Prowadzący instalację	P4 sp. z o.o., ul. Wynałazek 1, 02-677 Warszawa
Lokalizacja obiektu	Ciechanów, Gostkowska 39A, pow. ciechanowski, woj. mazowieckie
Miejsce instalacji anten	Wieża rurowa
Miejsce instalacji urządzeń	Outdoor
Osoby wykonujące pomiar	
Data wykonania pomiaru	16.01.2023
Temperatura na początku pomiaru [°C]	3,0
Temperatura na koniec pomiaru [°C]	3,0
Warunki atmosferyczne	Brak opadów
Wilgotność na początku pomiaru [%]	83,0
Wilgotność na koniec pomiaru [%]	83,0
Godzina na początku pomiaru	14:47
Godzina na koniec pomiaru	16:00
Inne źródła pól elektromagnetycznych oznaczone na załączniku graficznym	Nie występują
Parametry pracy instalacji	Tryb eksploatacyjny

2. Podstawa prawna.

2.1 Normy i rozporządzenia:

- Rozporządzeniem Ministra Klimatu z dnia 17 lutego 2020 r. w sprawie sposobów sprawdzania dotrzymania dopuszczalnych poziomów pól elektromagnetycznych w środowisku (Dz.U. 2020 poz. 258)
- Rozporządzenie Ministra Zdrowia z dnia 17 grudnia 2019 r. w sprawie dopuszczalnych poziomów pól elektromagnetycznych w środowisku (Dz.U. 2019 poz. 2448)
- Obwieszczenie Marszałka Sejmu Rzeczypospolitej Polskiej z dnia 29 września 2021 r. w sprawie ogłoszenia jednolitego tekstu ustawy - Prawo ochrony środowiska (Dz.U. 2021 poz. 1973)
- Rozporządzenie Ministra Klimatu i Środowiska z dnia 6 maja 2022 r. zmieniające rozporządzenie w sprawie sposobów sprawdzania dotrzymywania dopuszczalnych poziomów pól elektromagnetycznych w środowisku (Dz.U. 2022 poz. 1121).

„Bez pisemnej zgody Laboratorium niniejsze sprawozdanie nie może być powielane inaczej, jak tylko w całości. Ponadto wyniki dotyczą tylko badanych obiektów przywołanych w niniejszym sprawozdaniu z badań”

3. Opis pomiarów

Metodologia pomiarowa	Pomiary w oparciu o Rozporządzeniem Ministra Klimatu z dnia 17 lutego 2020 r. w sprawie sposobów sprawdzania dotrzymania dopuszczalnych poziomów pól elektromagnetycznych w środowisku (Dz.U. 2020 poz. 258) oraz Rozporządzenie Ministra Klimatu i Środowiska z dnia 6 maja 2022 r. zmieniające rozporządzenie w sprawie sposobów sprawdzania dotrzymywania dopuszczalnych poziomów pól elektromagnetycznych w środowisku (Dz.U. 2022 poz. 1121).
Cel badań	Określenie wartości natężenia pola elektrycznego w miejscach dostępnych dla ludności.
Opis zestawu pomiarowego	Miernik Narda NBM 550, Sonda EF9091, o zakresie pomiarowym 0,7 V/m - 300V/m pracująca w paśmie 0,1 – 90 GHz, świadectwo wydane przez Laboratorium Wzorców i Metrologii Pola Elektromagnetycznego, Instytut Telekomunikacji, Teleinformatyki i Akustyki Politechniki Wrocławskiej. Świadectwo ważne do 10.06.2024r. Miernik Narda NBM 550, Sonda EF9091 pracująca w zakresie temperatury -10°C +50°C oraz wilgotności 5% - 95%. Niepewność rozszerzona 59% przy poziomie ufności 95% z uwzględnieniem współczynnika rozszerzenia k=2.
Wyposażenie pomocnicze	Termohigrometr Termoprodukt, typ: Termik+, Nr. inwentarzowy 43/WL, nr identyfikacyjny 1530619, świadectwo wzorcowania nr 0392/AH/20 z dn. 02.03.2020 r. wydane przez Laboratorium Pomiarowe "MUTECH". Dalmierz laserowy BOSH GLM 40, Nr. inwentarzowy 27/WL, nr seryjny 711425432, Świadectwo wzorcowania L4-L41.4180.141.2018.3061.1 z dnia 12 września 2018 wydane przez Pracownia Długości Samodzielnego Laboratorium Długości w Głównym Urzędzie Miar. GPS Garmin 64s okresowo sprawdzany w punktach osnowy geodezyjnej klasy 3 na podstawie licencji punktu, zgodnie z procedurą sprawdzeń okresowych IS/PO16-11/03.
Pomiary zostały wykonane	<ol style="list-style-type: none">1. na głównych i pomocniczych kierunkach pomiarowych, na kierunkach zbliżonych do azymutów anten oraz w dodatkowych pionach pomiarowych zgodnie z wymaganiami pkt 12, 13, 14 i 19 Rozporządzenia Ministra Klimatu z dnia 17 lutego 2020 r. (Dz. U. 2020, poz. 258) oraz Rozporządzenia Ministra Klimatu i Środowiska z dnia 6 maja 2022 r. zmieniającego rozporządzenie w sprawie sposobów sprawdzania dotrzymywania dopuszczalnych poziomów pól elektromagnetycznych w środowisku (Dz.U. 2022 poz. 1121).2. na obszarze pomiarowym, dla którego, na podstawie uprzednio przeprowadzonych obliczeń stwierdzono w miejscach dostępnych dla ludności występowanie pól elektromagnetycznych o najwyższym poziomie, które pochodzą z badanej instalacji zgodnie z wymaganiami pkt 5 ppkt 2 oraz pkt 13 ppkt 1 Rozporządzenia Ministra Klimatu z dnia 17 lutego 2020 r. w sprawie sposobów sprawdzania dotrzymania dopuszczalnych poziomów pól elektromagnetycznych w środowisku (Dz. U. 2020, poz. 258) oraz Rozporządzenia Ministra Klimatu i Środowiska z dnia 6 maja 2022 r. zmieniającego rozporządzenie w sprawie sposobów sprawdzania dotrzymywania dopuszczalnych poziomów pól elektromagnetycznych w środowisku (Dz.U. 2022 poz. 1121). Wyniki obliczeń nie uwzględniały parametrów pracy instalacji innych operatorów występujących na obiekcie bądź w obszarze pomiarowym.3. w miejscach dostępnych dla ludności.4. miejsca niedostępne podczas wykonywania pomiarów wskazane zostały w pkt 6 (tabeli wyniki pomiarów).

„Bez pisemnej zgody Laboratorium niniejsze sprawozdanie nie może być powielane inaczej, jak tylko w całości. Ponadto wyniki dotyczą tylko badanych obiektów przywołanych w niniejszym sprawozdaniu z badań”

Szczególne warunki podczas wykonywania pomiarów

Pomiary wykonane zostały podczas obowiązywania w kraju stanu zagrożenia epidemicznego, zgodnie z art. 122a ust. 1b Ustawy z dnia 27 kwietnia 2001 r. – Prawo ochrony środowiska (Dz. U. z 2019 r. poz. 1396, z późn. zm.9)).

Warunki pracy urządzeń nadawczych

Tryb pracy eksploatacyjny.

4. Zróżnicowanie dopuszczalne poziomy pól elektromagnetycznych.

Zakresy znajdują się w Dzienniku Ustaw z dnia 17 grudnia 2019 r. przedstawione są w tabeli nr 2 (Dz. U. z 2019r. poz. 2448).

Parametr fizyczny	Składowa elektryczna E (V/m)	Składowa magnetyczna H (A/m)	Gęstość mocy S (W/m ²)
Zakres Częstotliwości pola elektromagnetycznego			
od 400 MHz do 2000 MHz	$1,375 \times f^{0,5}$	$0,0037 \times f^{0,5}$	f / 200
od 2 GHz do 300 GHz	61	0,16	10

5. Charakterystyka źródeł PEM.

Zgodnie z informacją otrzymaną od Klienta pomiary zostały wykonane przy ustawieniach pochyleń anten zgodnych z pkt. 13, ppkt 2 Rozporządzenia Ministra Klimatu z dnia 17 lutego 2020 roku.

Tabela 1. Anteny sektorowe - dane otrzymane od klienta

Charakterystyka promieniowania		kierunkowa																	
Rzeczywisty czas pracy [h/dobę]		24																	
Rodzaj wytwarzanego pola		stacjonarne																	
L	Wyszczególnienie	sektor 1					sektor 2					sektor 3							
p																			
I																			
Nadajnik stacji bazowej:																			
1	Typ / Producent	DBS/RBS / Overlay Huawei/Ericsson																	
2	Częstotliwość (pasmo) MHz	2600	800	2100	1800	900	2600	800	2100	1800	900	2600	800	2100	1800	900			
3	Maksymalna moc nadawana na sektor [dBm]	52,04	46,02	53,01	53,01	46,02	52,04	46,02	53,01	53,01	46,02	52,04	46,02	53,01	53,01	46,02			
II																			
Obciążenie:																			
1	Typ anteny	Huawei ATR4518R6			Huawei ATR4518R6			Huawei ATR4518R6			Huawei ATR4518R6			Huawei ATR4518R6					
2	Producent anteny	Huawei			Huawei			Huawei			Huawei			Huawei					
3	Nazwa anteny	11_H V	11_H V	12_GH LNT	12_GH LNT	12_GH LNT	21_H V	21_H V	22_GH LNT	22_GH LNT	22_GH LNT	31_H V	31_H V	32_GH LNT	32_GH LNT	32_GH LNT			
4	Ilość anten	1			1			1			1			1					
5	Azymut	0					120					230							
6	Zakres kątów pochyleń anten [°]	0,00-10,00					0,00-10,00					0,00-10,00							
7	Wysokość zainst. n.p.t. [m]	47,00					47,00					47,00							
8	EIRP [W]	11812			23089			11812			23089			11812			23089		

Tabela 2. Anteny radioliniowe- dane otrzymane od klienta

Charakterystyka promieniowania				kierunkowa			
Rzeczywisty czas pracy [h/dobę]				24			
Rodzaj wytwarzanego pola				stacjonarne			
Lp	Linia radiowa			Antena			
	typ/producent	częstotliwość pracy [GHz]	moc wyjściowa [dBm]	typ/producent	średnica anteny [m]	azymut [°]	wysokość zainstal. [m]
1	MINI-LINK/ERICSSON	80	18	ANT2 B 0.6 80 HP/Ericsson	0,6	21	44,50
2	OPTIX RTN/HUAWEI	80	18	VHLP1-80/Andrew	0,3	171	44,50
3	OPTIX RTN/HUAWEI	80	18	A80S03/Huawei	0,3	232	44,50

6. Wyniki pomiarów.

Wyniki pomiarów pól elektromagnetycznych dla celów ochrony środowiska przedstawia poniższa tabela. Piony pomiarowe zostały przedstawione w zał. 2.

Nr PP	Pole-E [V/m]	Pole-E, +U [V/m]	Pole-H [A/m]	Pole-H +U [A/m]	Wys. pomiaru [m]	Opis pionu	Uwagi	WM _E	WM _H
1	0,9	1,43	0,002	0,004	0,3-2,0	N:52°53'27.8" E:20°36'45.3"	otoczenie stacji bazowej - 100m wzdłuż gł. osi promieniowania - GKP	0,051	0,052
2	1,1	1,75	0,003	0,005	0,3-2,0	N:52°53'30.8" E:20°36'45.2"	otoczenie stacji bazowej - 200m wzdłuż gł. osi promieniowania - GKP	0,062	0,064
3	1,0	1,59	0,003	0,004	0,3-2,0	N:52°53'34.2" E:20°36'45.3"	otoczenie stacji bazowej - 300m wzdłuż gł. osi promieniowania - GKP	0,057	0,058
4	0,8	1,27	0,002	0,003	0,3-2,0	N:52°53'36.8" E:20°36'45.7"	otoczenie stacji bazowej - 400m wzdłuż gł. osi promieniowania - GKP	0,045	0,046
5	0,7*	1,27	0,002	0,003	0,3-2,0	N:52°53'39.8" E:20°36'45.3"	otoczenie stacji bazowej - 470m wzdłuż gł. osi promieniowania - GKP	0,045	0,046
6	1,5	2,39	0,004	0,006	0,3-2,0	N:52°53'24.2" E:20°36'47.4"	otoczenie stacji bazowej - 50m wzdłuż gł. osi promieniowania - GKP	0,085	0,087
7	1,3	2,07	0,003	0,005	0,3-2,0	N:52°53'22.3" E:20°36'51.8"	otoczenie stacji bazowej - 150m wzdłuż gł. osi promieniowania - GKP	0,074	0,075
8	1,2	1,91	0,003	0,005	0,3-2,0	N:52°53'23.3" E:20°36'41.3"	otoczenie stacji bazowej - 85m wzdłuż gł. osi promieniowania - GKP	0,068	0,069
9	1,0	1,59	0,003	0,004	0,3-2,0	N:52°53'21.3" E:20°36'37.2"	otoczenie stacji bazowej - 185m wzdłuż gł. osi promieniowania - GKP	0,057	0,058
10	0,8	1,27	0,002	0,003	0,3-2,0	N:52°53'19.2" E:20°36'33.6"	otoczenie stacji bazowej - 280m wzdłuż gł. osi promieniowania - GKP	0,045	0,046
11	0,8	1,27	0,002	0,003	0,3-2,0	N:52°53'17.2" E:20°36'29.5"	otoczenie stacji bazowej - 375m wzdłuż gł. osi promieniowania - GKP	0,045	0,046
12	0,7*	1,27	0,002	0,003	0,3-2,0	N:52°53'16.6" E:20°36'27.8"	otoczenie stacji bazowej - 410m wzdłuż gł. osi promieniowania - GKP	0,045	0,046
13	1,1	1,75	0,003	0,005	0,3-2,0	N:52°53'25.5" E:20°36'47.4"	otoczenie stacji bazowej - GKP	0,062	0,064
14	1,0	1,59	0,003	0,004	0,3-2,0	N:52°53'24.8" E:20°36'51.4"	otoczenie stacji bazowej - GKP	0,057	0,058
15	0,9	1,43	0,002	0,004	0,3-2,0	N:52°53'20.4" E:20°36'55.5"	otoczenie stacji bazowej - GKP	0,051	0,052
16	1,1	1,75	0,003	0,005	0,3-2,0	N:52°53'19.1" E:20°36'58.4"	otoczenie stacji bazowej - GKP	0,062	0,064
17	0,8	1,27	0,002	0,003	0,3-2,0	N:52°53'18.2" E:20°37'00.1"	otoczenie stacji bazowej - GKP	0,045	0,046
18	1,2	1,91	0,003	0,005	0,3-2,0	N:52°53'22.1" E:20°36'42.5"	otoczenie stacji bazowej - GKP	0,068	0,069
19	1,1	1,75	0,003	0,005	0,3-2,0	N:52°53'25.7" E:20°36'42.8"	otoczenie stacji bazowej - GKP	0,062	0,064
20	0,9	1,43	0,002	0,004	0,3-2,0	N:52°53'26.5" E:20°36'41.7"	otoczenie stacji bazowej - GKP	0,051	0,052
21	0,9	1,43	0,002	0,004	0,3-2,0	N:52°53'21.5" E:20°36'45.7"	otoczenie stacji bazowej - 100m wzdłuż gł. osi promieniowania - GKP	0,051	0,052

„Bez pisemnej zgody Laboratorium niniejsze sprawozdanie nie może być powielane inaczej, jak tylko w całości. Ponadto wyniki dotyczą tylko badanych obiektów przywołanych w niniejszym sprawozdaniu z badań”

22	0,9	1,43	0,002	0,004	0,3-2,0	N:52°53'27.7" E:20°36'47.3"	otoczenie stacji bazowej - 100m wzdłuż gł. osi promieniowania - GKP	0,051	0,052
A	1,4	2,23	0,004	0,006	0,3-2,0	N:52°53'24.4" E:20°36'46.5"	Gostkowska 39A, pomiar przed budynkiem -DPP	0,080	0,081
B	1,3	2,07	0,003	0,005	0,3-2,0	N:52°53'23.6" E:20°36'45.5"	Gostkowska 39H, pomiar przed budynkiem -DPP	0,074	0,075
C	1,5	2,39	0,004	0,006	0,3-2,0	N:52°53'24.6" E:20°36'34.6"	Gostkowska 39G/39N, pomiar przed budynkiem -DPP	0,085	0,087
D	1,2	1,91	0,003	0,005	0,3-2,0	N:52°53'23.6" E:20°36'48.6"	Gostkowska 39, pomiar przed budynkiem -DPP	0,068	0,069
E	1,4	2,23	0,004	0,006	0,3-2,0	N:52°53'22.9" E:20°36'47.8"	Gostkowska 39L, pomiar przed budynkiem -DPP	0,080	0,081
F	1,3	2,07	0,003	0,005	0,3-2,0	N:52°53'22.9" E:20°36'40.8"	Parkowa 37, pomiar przed budynkiem -DPP	0,074	0,075
G	1,1	1,75	0,003	0,005	0,3-2,0	N:52°53'22.5" E:20°36'39.8"	Parkowa 37a, pomiar przed budynkiem -DPP	0,062	0,064
H	0,9	1,43	0,002	0,004	0,3-2,0	N:52°53'21.3" E:20°36'37.4"	Konopnickiej 10, pomiar przed bramą -DPP	0,051	0,052
I	0,9	1,43	0,002	0,004	0,3-2,0	N:52°53'20.9" E:20°36'36.8"	Konopnickiej 19, pomiar przed budynkiem -DPP	0,051	0,052
J	0,8	1,27	0,002	0,003	0,3-2,0	N:52°53'19.5" E:20°36'34.2"	Borodzicza 20, pomiar przed budynkiem -DPP	0,045	0,046
K	0,7*	1,27	0,002	0,003	0,3-2,0	N:52°53'19.1" E:20°36'33.1"	Borodzicza 5, pomiar przed budynkiem -DPP	0,045	0,046
L	0,8	1,27	0,002	0,003	0,3-2,0	N:52°53'19.1" E:20°36'32.8"	Dąbrowskiego 13, pomiar przed budynkiem -DPP	0,045	0,046
M	0,7*	1,27	0,002	0,003	0,3-2,0	N:52°53'16.5" E:20°36'27.3"	Konwerskiego 18, pomiar przed budynkiem -DPP	0,045	0,046
N	0,7*	1,27	0,002	0,003	0,3-2,0	N:52°53'30.5" E:20°36'45.3"	Krasińskiego 34, pomiar przed budynkiem -DPP	0,045	0,046
O	0,7*	1,27	0,002	0,003	0,3-2,0	N:52°53'32.2" E:20°36'45.8"	Kosynierów 40, pomiar przed bramą -DPP	0,045	0,046
P	1,1	1,75	0,003	0,005	0,3-2,0	N:52°53'21.9" E:20°36'52.9"	Zamkowa 54/52, pomiar przed budynkiem -DPP	0,062	0,064
R	1,0	1,59	0,003	0,004	0,3-2,0	N:52°53'20.8" E:20°36'54.9"	Zamkowa 48/46, pomiar przed bramą -DPP	0,057	0,058
S	0,9	1,43	0,002	0,004	0,3-2,0	N:52°53'20.2" E:20°36'56.8"	Zamkowa 44/42, pomiar przed bramą -DPP	0,051	0,052
T	0,8	1,27	0,002	0,003	0,3-2,0	N:52°53'19.5" E:20°36'58.3"	Zamkowa 40/38, pomiar przed bramą -DPP	0,045	0,046
U	0,7*	1,27	0,002	0,003	0,3-2,0	N:52°53'18.6" E:20°36'59.8"	Zamkowa 36/34, pomiar przed budynkiem -DPP	0,045	0,046
W	0,7*	1,27	0,002	0,003	0,3-2,0	N:52°53'17.7" E:20°37'01.5"	Zamkowa 32/30, pomiar przed budynkiem -DPP	0,045	0,046
V	1,1	1,75	0,003	0,005	0,3-2,0	N:52°53'26.3" E:20°36'46.0"	Gostkowska 39f, pomiar przed budynkiem -DPP	0,062	0,064
X	1,2	1,91	0,003	0,005	0,3-2,0	N:52°53'26.3" E:20°36'47.2"	Gostkowska 39e, pomiar przed budynkiem -DPP	0,068	0,069
Y	1,1	1,75	0,003	0,005	0,3-2,0	N:52°53'25.4" E:20°36'50.5"	Gostkowska 39b, pomiar przed budynkiem -DPP	0,062	0,064

Wynik pomiaru pole - E [V/m] - maksymalna wartość chwilowa zmierzona w danym pionie pomiarowym (uśredniona na podstawie punktu 11 załącznika do Rozporządzenia Ministra Klimatu z dnia 17 lutego 2020 r. w sprawie sposobów sprawdzania dotrzymania dopuszczalnych poziomów pól elektromagnetycznych w środowisku (Dz.U. 2020 poz. 258, Dz.U. 2022 poz. 1121)). Zgodnie z pkt. 7 załącznika do Rozporządzenia Ministra Klimatu z dnia 17 lutego 2020 r. w sprawie sposobów sprawdzania dotrzymania dopuszczalnych poziomów pól elektromagnetycznych w środowisku (Dz.U. 2020 poz. 258, Dz.U. 2022 poz. 1121) nie stosuje się poprawek pomiarowych.

Przyjęto najniższą dopuszczalną wartość składowej elektrycznej pola dla objętego pomiarami zakresu częstotliwości $\min(ME_{gr}) = 28 \text{ V/m}$ oraz składowej magnetycznej $\min(MH_{gr}) = 0,073 \text{ A/m}$.

* - wartość zmierzona poniżej zakresu akredytacji. Do obliczeń przyjęto wartość zgodną z dolną granicą akredytowanego zakresu pomiarowego metody.

GKP - główne kierunki pomiarowe

PKP - pomocnicze kierunki pomiarowe

DPP - dodatkowe punkty pomiarowe

PP - pion pomiarowy

U - niepewność pomiarowa rozszerzona, przy poziomie ufności 95%, z uwzględnieniem współczynnika rozszerzenia $k=2$
WM_E - wartość wskaźnikowa poziomu emisji pól elektromagnetycznych dla miejsc dostępnych dla ludności dla składowej elektrycznej pola
WM_H - wartość wskaźnikowa poziomu emisji pól elektromagnetycznych dla miejsc dostępnych dla ludności dla składowej magnetycznej pola

7. Stwierdzenie zgodności

Na podstawie wytycznych podanych w Rozporządzeniu Ministra Zdrowia z dnia 17 grudnia 2019 r. w sprawie dopuszczalnych poziomów pól elektromagnetycznych w środowisku (Dz.U. 2019 poz. 2448) oraz sposobów sprawdzania dotrzymania tych poziomów zgodnie z Rozporządzeniem Ministra Klimatu z dnia 17 lutego 2020 r. w sprawie sposobów sprawdzania dotrzymania dopuszczalnych poziomów pól elektromagnetycznych w środowisku (Dz.U. 2020 poz. 258) oraz Rozporządzeniem Ministra Klimatu i Środowiska z dnia 6 maja 2022 r. zmieniającego rozporządzenie w sprawie sposobów sprawdzania dotrzymania dopuszczalnych poziomów pól elektromagnetycznych w środowisku (Dz.U. 2022 poz. 1121), dotyczących źródła wymagań, które muszą być spełnione, w oparciu o zasadę podejmowania decyzji zgodną z pkt. 26 Rozporządzenia Ministra Klimatu z dnia 17 lutego 2020 r. (Dz.U. 2020 poz. 258), na podstawie wyników pomiarów pól elektromagnetycznych wykonanych w dniu 16.01.2023 stwierdzono, że wszystkie wyniki przeprowadzonych pomiarów w danym obszarze pomiarowym oraz wyznaczone na tej podstawie wskaźniki WME oraz WMH są mniejsze od wartości dopuszczalnych – zgodnie z przepisami wydanymi na podstawie art. 122 ust. 1 ustawy z dnia 27 kwietnia 2001 r. – Prawo ochrony środowiska – załącznikiem do Rozporządzenia Ministra Klimatu i Środowiska z dnia 17 lutego 2020 r. w sprawie sposobów sprawdzania dotrzymania dopuszczalnych poziomów pól elektromagnetycznych w środowisku (Dz.U. 2020 poz. 258, pkt 26).

8. Oświadczenie.

Wyniki badania odnoszą się wyłącznie do badanego obiektu.

Bez pisemnej zgody sprawozdanie nie może być powielane inaczej, jak tylko w całości.

Uwagi i zastrzeżenia przyjmowane są w formie pisemnej.

9. Spis załączników.

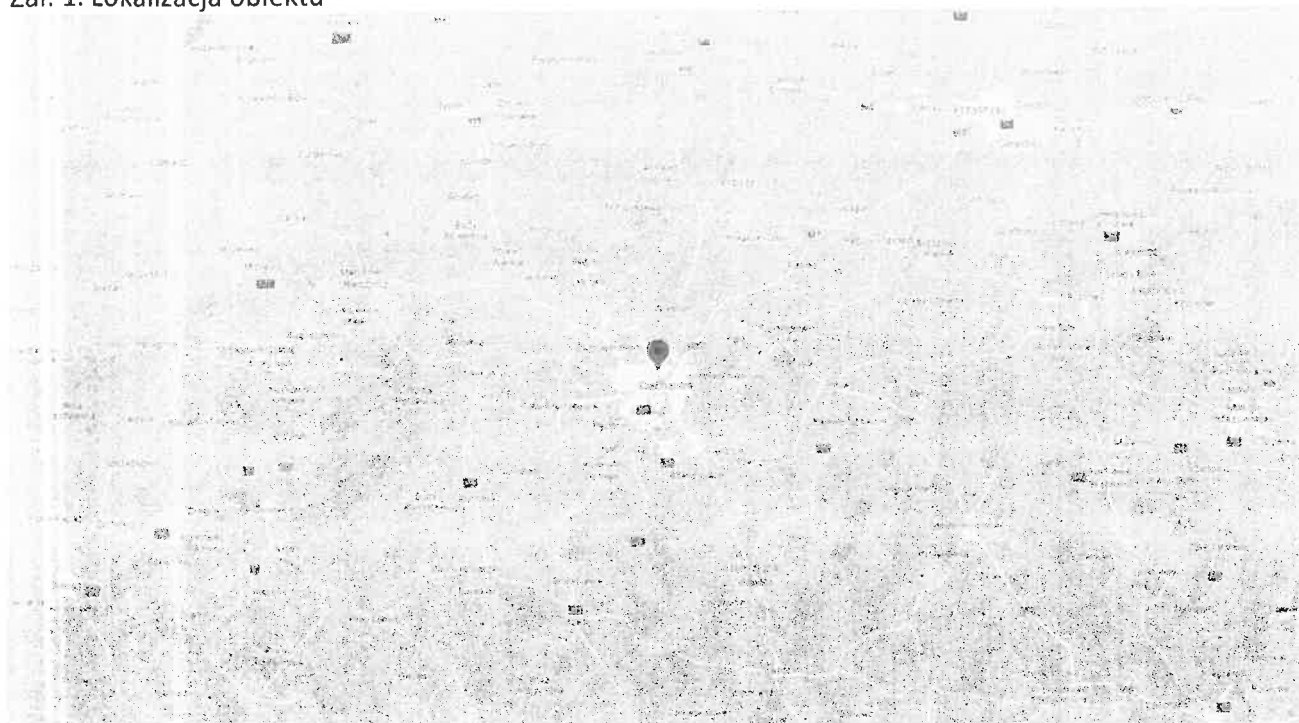
Zał. 1. Lokalizacja obiektu.

Zał. 2. Widok pionów pomiarowych

Zał. 3. Załączniki graficzne

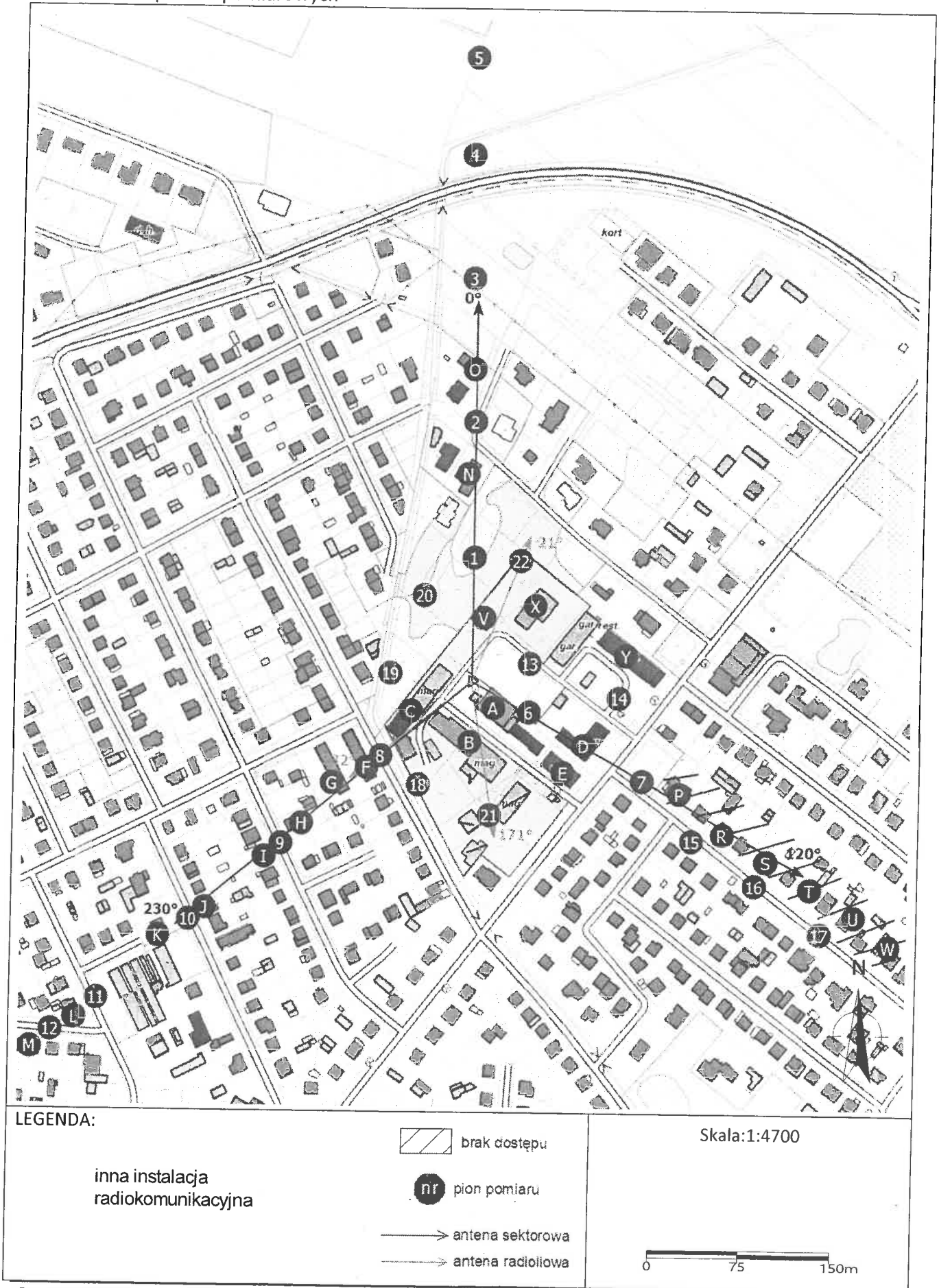
Koniec sprawozdania

Załącznik 1. Lokalizacja obiektu



Współrzędne geograficzne	
długość:	20°36'45.23"E
szerokość:	52°53'24.86"N

Załącznik 2. Widok pionów pomiarowych



„Bez pisemnej zgody Laboratorium niniejsze sprawozdanie nie może być powielane inaczej, jak tylko w całości. Ponadto wyniki dotyczą tylko badanych obiektów przywołanych w niniejszym sprawozdaniu z badań”
 31/01/OŚ/2023–P4-W

Załącznik 3. Załączniki graficzne.



